

Ο ΣΧΗΜΑΤΙΣΜΟΣ ΤΗΣ ΛΕΚΑΝΗΣ ΣΕΡΒΙΩΝ-ΚΟΖΑΝΗΣ. ΕΣΩΤΕΡΙΚΗ ΔΟΜΗ ΑΠΟ ΜΟΝΤΕΛΑ ΠΕΙΡΑΜΑΤΙΚΗΣ ΤΕΚΤΟΝΙΚΗΣ*

Σ. ΠΑΥΛΙΔΗΣ¹, Δ. ΣΟΚΟΥΤΗΣ² & Α. ΤΣΑΛΤΑΜΠΑΣΗ¹

ΠΕΡΙΛΗΨΗ

Η επαναδραστηριοποίηση των Αλπιδικών δομών, αποτυπωμένων στο Παλαιοζωικό-Μεσοζωικό υπόβαθρο της Πελαγονικής, ελέγχουν την ανάπτυξη των νεοτεκτονικών δομών στο τεκτονικό βύθισμα Κοζάνης-Σερβίων κατά τη διάρκεια του Νεογενούς-Τεταρτογενούς. Οι πρόσφατες ιζηματογενείς αποθέσεις έχουν επηρεασθεί από κανονικά όγηγατα Α-Δ διεύθυνσης (70°) σε εφελκυστικό πεδίο που προκαλεί διαστολή μέχρι 50%. Για την καλύτερη κατανόηση των σταδίων εξέλιξης αυτών των δομών πραγματοποιήθηκε μια σειρά πειραμάτων εξομοίωσης με ιεώδη (σιλικόνη) και θραυσιγενή υλικά (άψιος) αντιτροσωπευτικά του ανώτατου πρειωστικού φλοιού. Στα μοντέλα αυτά χρησιμοποιήθηκε ένα αρχικό άκαμπτο σώμα γεωμετρίας "επικλινές-οριζόντιο", με μετωπική γωνία επικλινούς 15° , το οποίο αντιτροσωπεύει μια αρχική επιφάνεια αποκόλλησης. Το άκαμπτο σώμα υποβλήθηκε σε διαδικασία εφελκυσμού σταθερής ταχύτητας 1.8 cm/h , που αντιτροσωπεύει την επαναδραστηριοποίηση της προηγούμενης ζώνης ασυνέχειας του φλοιού. Το κυρίως σύστημα ωγημάτων έδωσε την καλύτερη εξομοίωση όταν το μοντέλο έφθασε σε εφελκυστικό στάδιο σχεδόν 50%, ανάλογη με μια αντίστοιχη γεωλογική τομή του βυθίσματος των Σερβίων. Έχει επιτευχθεί αντιστοιχία του μοντέλου στο συγκεκριμένο φυσικό παράδειγμα.

ABSTRACT

The reactivation of Alpide structures of the Paleozoic-Mesozoic basement of the pelagonian zone, during the Neogene-Quaternary period, controls the development of new structures of the Kozani-Servia graben. The recent deposits have been mainly affected by faulting giving an east-west trending normal dip slip faults at 50% extension.

For better understanding the sequential development of these structures a series of interlayer viscous (silicon) and frictional material (sand) analogue experiments carried out in a "sandbox" simulating the continental uppermost crust conditions. In the models an initial ramp-flat geometry was introduced at the base of the experimental box, with 15 degrees frontal ramp angle, representing a detachment surface. The rigid ramp retreated at a constant rate of 1.8 cm/h representing a reactivation of a previous zone of weakness. The major fault pattern was best simulated when the model was extended up to 50% bulk extension, as shown in the geological cross-section of the Servia Graben. The implication of the model to natural example is assessed.

ΑΞΕΙΣ ΚΛΕΙΔΙΑ: Ρήγμα Σερβίων. Συστήματα εφελκυστικών ωγημάτων. Αναλογικά Πειραματικά Μοντέλα. Τεκτονική Προσομοίωση.

KEY WORDS: Servia Fault, Extensional fault systems, Analogue Modeling, Tectonic simulation.

- * THE SERVIA-KOZANI GRABEN FORMATION; INSIGHTS FROM ANALOGUE MODELLING.
- 1 Αριστοτέλειο Πανεπιστήμιο Θεσσαλονίκης, Τμήμα Γεωλογίας, Τομέας Γεωλογίας Φυσικής Γεωγραφίας, Dept of. Geology, University of Thessaloniki, GR-54006
- 2 Ινστιτούτο Γρεετερτημών, Πανεπιστήμιο Uppsala, Σουηδία Institute of Earth Sciences, "Hans Ramberg Tectonic Lab", Uppsala University, Sweden.

1. ΕΙΣΑΓΩΓΗ

Κατά τη διάρκεια της νεοτεκτονικής δράσης (Μειόκαινο-Σήμερα) στον αλπικό ορεινό χώρο της ΒΔ και κεντρικής Ελλάδας δημιουργήθηκαν, όπως είναι γνωστό (Παυλίδης 1985; Ψιλοβίκος κ.α. 1989) μια αλυσίδα ενδο-ορεινών τεκτονικών λεκανών κατά μήκος, του ορεογραφικού άξονα των ελληνίδων οροσειρών (πελαγονική, από το Μοναστήρι μέχρι τη Θεσσαλία). Μεταξύ των λεκανών αυτών, που μελετήθηκαν και συνεχίζονται να μελετούνται λεπτομερώς, λόγω και της οικονομικής τους σημασίας, σημαντική θέση για την κατανόηση της νεοτεκτονικής εξέλιξης της περιοχής κατέχει η λεκάνη Σερβίων-Κοζάνης, με το τυπικό και σημαντικό ενεργό φήμισμα του Αλιάκμονα (Σερβίων-Ρυμνίου) που την οριοθετεί στα νότια. Η επέκταση του φήμισμας αυτού προς τα ΔΝΔ ενεργοποιήθηκε κατά το 1995 και έδωσε τη σεισμική ακολουθία με κύριο σεισμό $M_s=6.6R$. (Pavlides et al. 1995). Το άλμα του φήμισμας Σερβίων-Ρυμνίου ξεπερνά τα 800 m και δημιουργεί ένα σημαντικό τεκτονικό βύθισμα κατά μήκος του Αλιάκμονα ποταμού πλάτους 3 και μήκους 20-25 km τουλάχιστον και βάθους μεγαλύτερου των 500 m. Αντίθετα το πάχος των νεογενών-τεταρτογενών ιζημάτων του βορειότερου τμήματος της λεκάνης (Κοζάνη-Αιανή-Βαθύλακκος), είναι ιδιαίτερα μικρό (0-200 m) ενώ η υπαρξη αντιθετικού φήμισμας στα βόρεια της Τεχνητής λίμνης Πολυφύτου δεν είναι σαφής (Αναστόπουλος & Μπρουσούλης 1973), (σχ. 1α).

Για την καλύτερη κατανόηση της σημερινής δομής, της νεοτεκτονικής εξέλιξης της λεκάνης και των τεκτονικών-μηχανικών παραμέτρων της, έγινε προσπάθεια μιας πειραματικής αναπαράστασης (Analogue Modeling) στο εργαστήριο τεκτονικής "Hans Ramberg" του Πανεπιστημίου της Ουγγαρίας.

Ο κύριος στόχος, εκτός από τη γεωμετρία του συστήματος παραμόρφωσης, είναι στο να κατανοήσουμε ποιές είναι οι κυρίως δυνάμεις που λειτουργήσαν ή λειτουργούν στο συγκεκριμένο τεκτονικό σύστημα, αλλά και σε άλλες ανάλογες τεκτονικές δομές. Στα πλαίσια της πειραματικής Τεκτονικής εξετάζονται οι Μηχανικές ιδιότητες, η συμπεριφορά των πετρωμάτων της λιθόσφαιρας και η ρεολογία τους (τάσεις-παραμόρφωση-χρόνος) με τη χρήση αντιτροσαπευτικών υλικών (π.χ. άμμος: Mohr-Coulomb material, θραυσιγενές υλικό) ή διαφόρων ειδών ιξώδους (σιλικόνη, παραφίνη, δηλ. υλικά πλαστικής παραμόρφωσης) και οι συνδυασμοί τους, για την αναπαράσταση (εξομοίωση=analogue modeling) της δομής, εξέλιξης και διεργασιών της λιθόσφαιρας σε μίκρο- και μάκρο- κλίμακα.

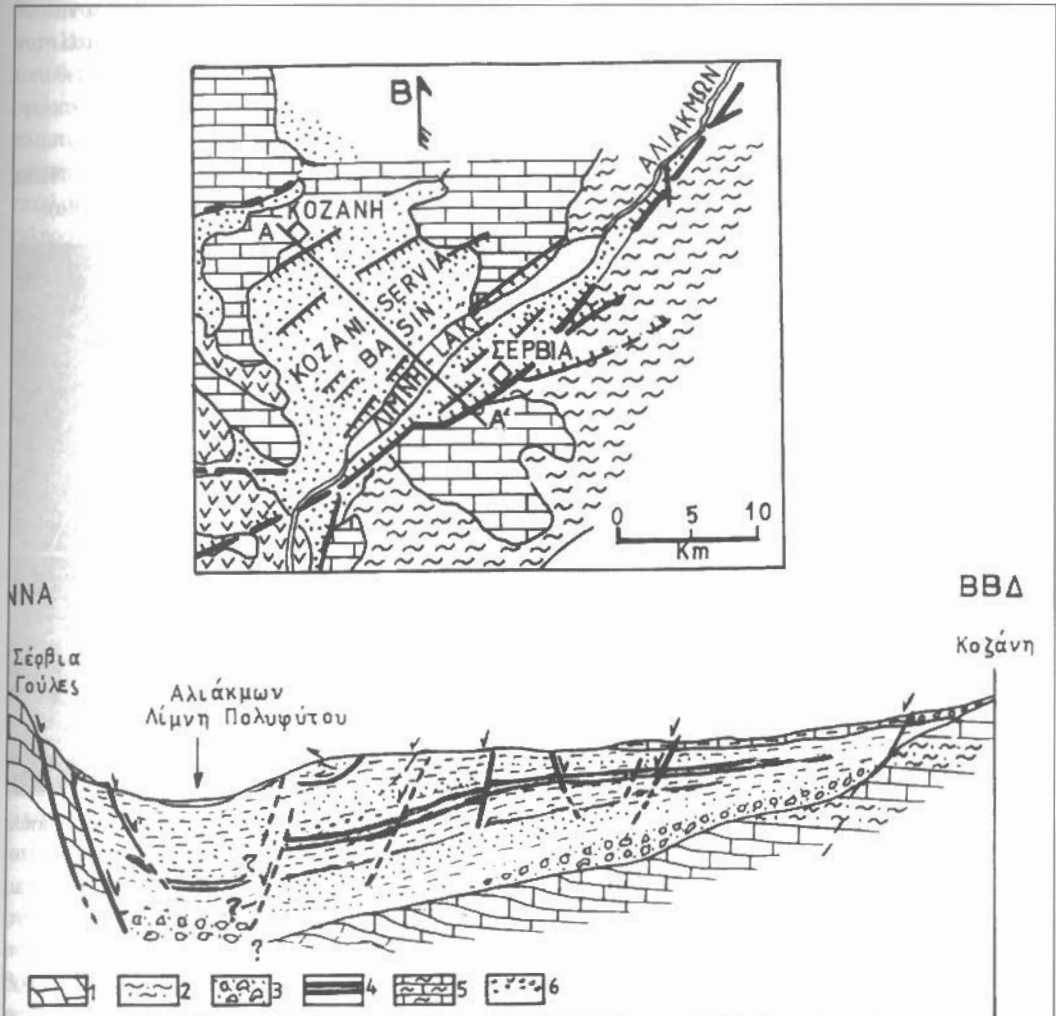
Τα υλικά που αποτελούν τον άκαμπτο ανώτερο φλοιό της γήινης λιθόσφαιρας (Brittle) είναι στερεά υλικά με απειρικό συντελεστή ιξώδους, τα οποία κάτω από την επίδραση εντατικού πεδίου δημιουργούν δομές ρηγείγενους τεκνονικής (φήμισμα, διακλάσεις). Τα υλικά που αποτελούν τον "πλαστικό" κατώτερο φλοιό (Ductile) είναι σχετικά "qeunstic" υλικά με πολύ υψηλό συντελεστή ιξώδους, αλλά πολύ χαμηλότερο από τα προηγούμενα. Αυτά δημιουργούν δομές πλαστικής τεκτονικής (πτυχές, κάμψεις, σχιστότητα). Ο χρόνος παραμόρφωσής τους επειδή είναι πολύ μεγάλος, της τάξης των εκατομμυρίων χρόνων, είναι δύσκολο να αναπαρασταθεί εργαστηριακά, όπως επίσης οι συνθήκες θερμοκρασίας και πίεσης του βάθους (Byerlee 1978; Vendeville 1987; Koyi 1997).

Η πειραματική Τεκτονική συμπληρώνει, χωρίς να αντικαθιστά, την επιφανειακή γεωλογική παρατήρηση και σε συνδυασμό με άλλους κλάδους των γεωπειστημάτων (τηλεπισκόπηση, σεισμικές τομές κτλ.) προσπαθεί να προσεγγίσει καλύτερα, ποσοτικά και ποιοτικά, τη λύση συγκεκριμένων και σημαντικών γεωλογικών προβλημάτων βασικής κυρίως αλλά και εφαρμοσμένης έρευνας (Davy & Cabbold 1991; Brun et al 1994; Buck & Sokoutis 1994).

2. Η ΛΕΚΑΝΗ ΣΕΡΒΙΩΝ-ΚΟΖΑΝΗΣ

Το αλπιδικό και προαλπιδικό υπόβαθρο της λεκάνης περιλαμβάνει Παλαιοζωικά και Μεσοζωικά πτερώματα και διακρίνεται σε τέσσερις μεγάλες ενότητες γεωλογικών σχηματισμών (Mountrakis et al 1997): (α) το κρυσταλλοσχιστώδες της Πελαγονικής ζώνης με την Περιμοτριαδική μετακλαστική ακολουθία, (β) το Τριαδικο-Ιουνιασικό ανθρακικό κάλυμμα του δυτικού περιθωρίου της Πελαγονικής ζώνης, (κρυσταλλικοί ασβεστόλιθοι), (γ) τα οφιολιθικά πετρώματα με τα συνοδά ιζήματα βαθιάς θάλασσας, που επωθούνται από το χώρο της Υποπελαγονικής ζώνης πάνω στο δυτικό περιθώριο της Πελαγονικής και (δ) τονισμένα τεκτονικά σχηματισμάτα που συναντίονται.

Η λεκάνη Σερβίων-Κοζάνης είναι πληρωμένη με Πλειο-Πλειστοκαϊνικές αποθέσεις, που είναι λιμναίες και χερσοποτάμιες και επικάθονται ασύμφωνα πάνω στα πετρώματα του υποβάθρου. Αποτελούνται κυρίως από μάργες, άμμους, φαμμίτες και αργιλικούς ασβεστόλιθους (σχ. 1β). Αξιοσημείωτο όμως είναι το γεγονός ότι η ανάπτυξή τους φαίνεται να καθορίζεται σε σημαντικό βαθμό και από τη δράση των ΑΒΑ-ΔΝΔ διεύθυνσης μεγάλων οργιμάτων της περιοχής (π.χ. οργιμα Σερβίων).



Σχ. 1: α) Απλοποιημένος γεωλογικός χάρτης της περιοχής Σερβίων-Κοζάνης, όπου φαίνεται η θέση της τομής AA'. β) Γενικευμένη γεωλογική τομή AA', όπου φαίνεται ενδεικτικά η δομή της λεκάνης (δεν είναι υπό κλίμακα). (1) Τριαδικοί ιονφασικοί κρυσταλλικοί ασβεστόλιθοι, (2) Κρητιδικοί φλυσχοειδείς σχηματισμοί, (3) Κροκαλοπαγή, φαμμίτες, άμμοι μάργες, αργιλοί, (4) Λιγνιτοφόρα στρώματα, (5) Μαργαΐκοι ασβεστόλιθοι, (6) Πρόσφατα κορήματα, αλλοιώματα.

Fig. 1: a) Simplified geological map of the Servia-Kozani area, where the AA' cross section is shown. **b)** A general geological cross-section AA', where the basin structure is shown (not in scale).

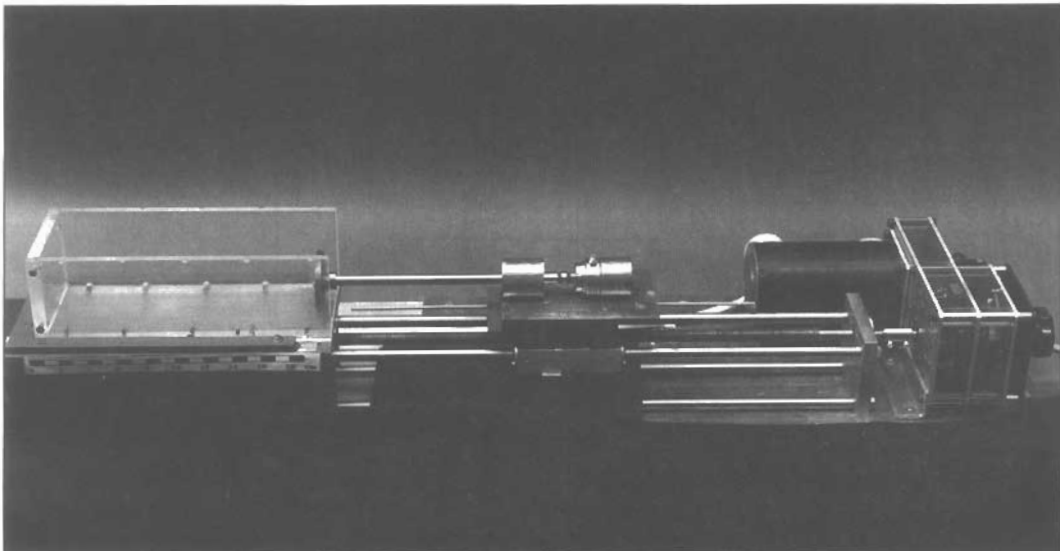
Στη σημερινή διαμόρφωση της περιοχής καθοριστικό ρόλο έχει διαδραματίσει αυτή η ΒΒΔ-ΝΝΑ διεύθυνσης (σ3) εφελκυστική φάση του Τεταρτογενούς που προκαλεί κυρίως την δραστηριοποίηση των ΑΒΑ-ΔΝΔ και Α-Δ διαθετική Βιβλιοθήκη "Θεόφραστός" ή Τμήμα Γεωλογίας, Α.Π.Θ. όπως διαπιστώνεται από

τις πολύ πρόσφατες επαναδραστηριοποιήσεις των οργανώσεων στα ιζήματα. Επίσης βρίσκεται σε συμφωνία και με τη γεωμετρία και κινηματική των επιφανειακών διαφορήσεων και τους μηχανισμούς γένεσης καλά προσδιορισμένων μεγάλων σεισμών τόσο στην περιοχή μελέτης, όσο και σε γειτονικές περιοχές με ανάλογο γεωτεκτονικό περιβάλλον (π.χ. Θεσσαλονίκη 1978, Γουμένισσα 1990 και η πρόσφατη σεισμική ακολουθία το 1995 στην περιοχή Κοζάνης-Γρεβενών), (Pavlides 1997, Pavlides et al. 1998, Doutsos & Koukouvelas 1998).

Γενικά η διεύθυνση των τάσεων και το είδος των οργανώσεων της περιοχής μελέτης βρίσκονται σε συμφωνία με το εκτεταμένο σύγχρονο εφελκυστικό πεδίο σε γενική διεύθυνση N-S που επικρατεί στον ευρύτερο χώρο της Μακεδονίας-Θεσσαλίας, αλλά και σ' ολόκληρο το χώρο του Αιγαίου.

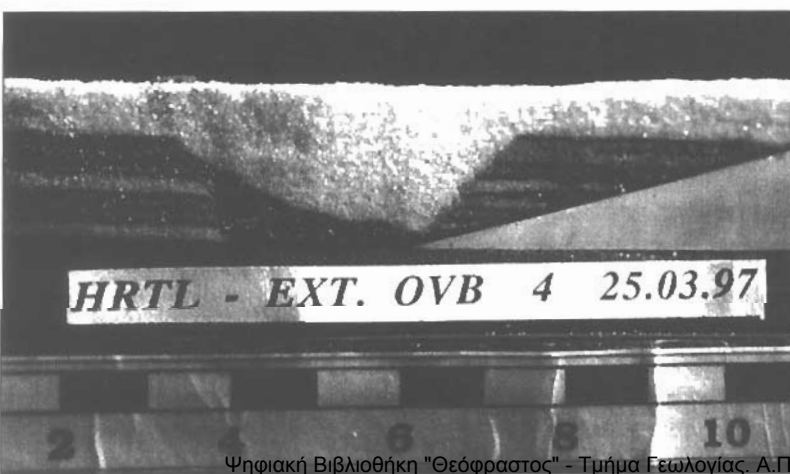
3. ΠΕΙΡΑΜΑΤΙΚΗ ΠΡΟΣΕΓΓΙΣΗ - ΑΝΑΛΟΓΙΚΟ ΜΟΝΤΕΛΟ

Πειραματική διάταξη και υλικά: Τα πειράματα αυτής της εργασίας εκτελέσθηκαν στο "Hans Ramberg Tectonic Lab" του Ινστιτούτου Γεωεπιστημών του Πανεπιστημίου της Ουφάλα (Σουηδία).



Σχ. 2: Πειραματική διάταξη (Squeeze box 20X7X6 cm³) που χρησιμοποιήθηκε κατά τη διάρκεια των πειραμάτων αυτής της εργασίας.

Fig. 2: The experimental set-up (Squeeze box 20X7X6 cm³) used in the present study.



Ψηφιακή Βιβλιοθήκη "Θεόφραστος" - Τμήμα Φεωλογίας, Α.Π.Θ.

Σχ. 3: Αναλογικό μοντέλο (τομή) τεκτονικού βιθίσματος με αρχικό επικλίνες άκαμπτο σώμα 15ο και θραυστιγενή υλικά μόνο άμμος (σε διαφορούς χωματισμούς) με 50% εφελκυσμό.

Fig. 3: Analogue model (section) of a graben structure with a ramp body 15o and sand frictional material in layers of different colors with 50% bulk extension.

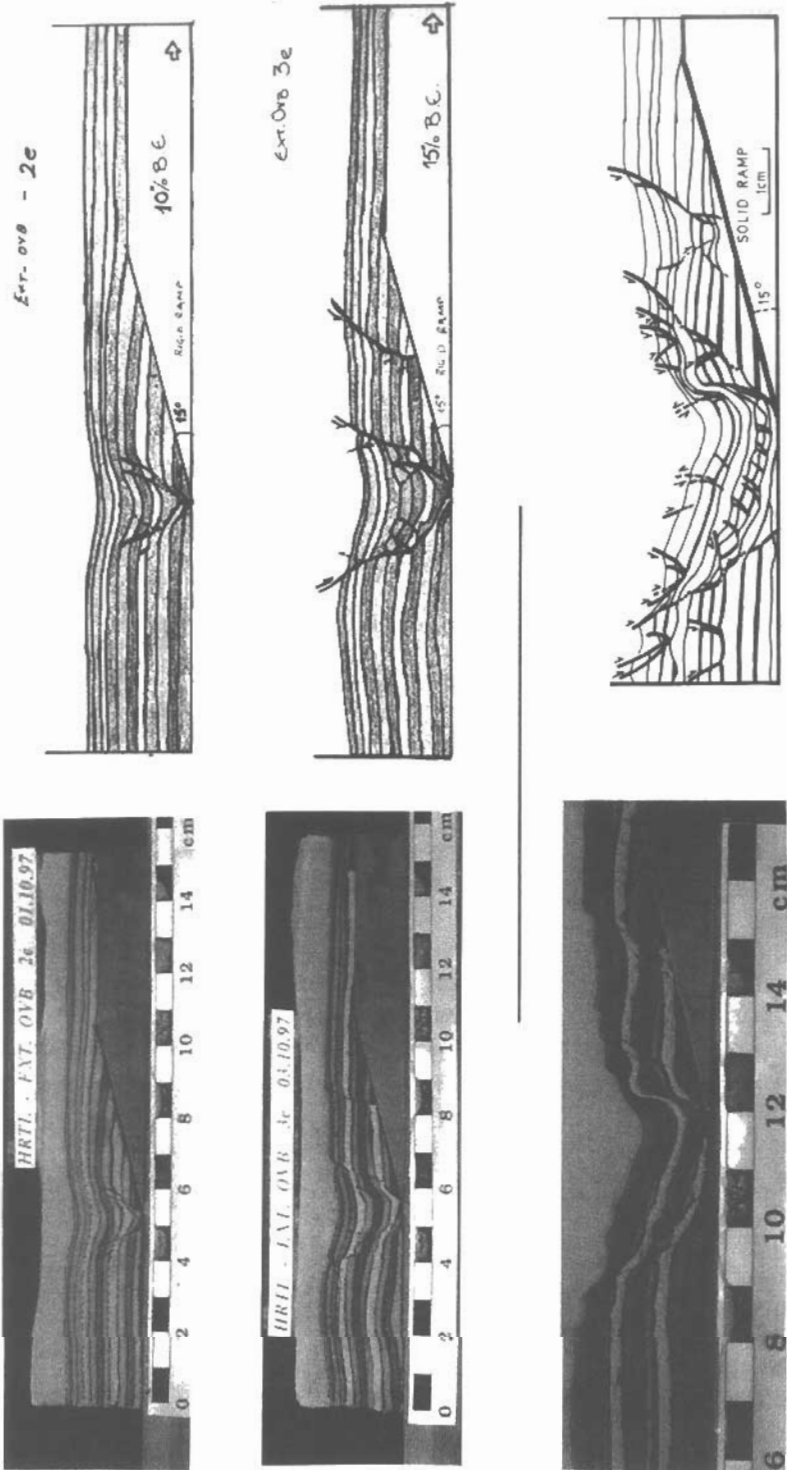
Η χαλαζιακή άμμος, Mohr-Coulomb θραυσιγενές υλικό, με πυκνότητα $p=1,300 \text{ kg m}^{-3}$, πολύ μικρή συνοχή και μέση γωνία εσωτερικής τριβής 30° , χρησιμοποιήθηκε σε εναλλαγή με τα άλλα υλικά για να αντιπροσωπεύει τα θραυσιγενή (brittle) περιοχής (άμμος, φαμίτης, μαφγαϊκός ασφεστόλιθος). Τα στρώματα της άμμου αποτέθηκαν με στρωματογραφική σειρά στην πρώτη σειρά πειραμάτων χωρίς την ύπαρξη αντιπροσωπευτικών πλαστικών υλικών, στη δεύτερη σειρά σε εναλλαγή με δύο στρώματα σιλικόνης. Η σιλικόνη τύπου "Rhodorsil Gomme GSIR", του γαλλικού οίκου Rhone-Poulen, έχωδος 10^4 Pa.s , νευτώνιο υλικό σε θερμοκρασία δωματίου αντιπροσωπεύει πλαστικά υλικά (αργιλικά στρώματα, μάργες σ' αυτό το πείραμα ή τον κατώτερο φλοιό). Όλα τα παραπάνω υλικά τοποθετήθηκαν σε κιβώτιο διαστάσεων $20\text{X}7\text{X}6\text{cm}^3$ κατασκευασμένο από Plexiglas (σχ. 2). Ο εφελκυσμός δημιουργείται με κινητήρα σταθερής ταχύτητας 1.8 cm h^{-1} , ο οποίος έλκει ένα άκαμπτο πλαστικό σώμα. Στο κυρίως πείραμα που εκτελέστηκε στα πλαίσια αυτής της εργασίας χρησιμοποιήθηκε το πλαστικό σώμα στη βάση του πειραματικού κιβωτίου, με δοσμένη μετωπική γωνία επικλινούς 15° (ramp-flat geometry), που αντιπροσωπεύει την μια προϋπάρχουσα ζώνη ασυνέχειας (κληρονομημένη τεκτονική δομή). Προσδομοίωση των ιδιοτήτων των υλικών του υποβάθρου της Πελαγονικής ζώνης δεν έγινε.

Προηγούμενα δοκιμάστηκαν μεγαλύτερες γωνίες επικλινούς: 30° , 45° , 60° . Κατά τη διάφορεια του τελευταίου κυρίως πειράματος μελετήθηκαν οι παραμορφώσεις σε τομές και επιφανειακά σε στάδια εφελκυσμού 0% (αρχικό), 10%, 15%, 20%, 30% και 48% (τελικό στάδιο) (σχ. 4). Τα μοντέλα φωτογραφήθηκαν σε κανονικά χρονικά διαστήματα, που δείχνουν τη σταδιακή παραμόρφωση. Μετά την ολοκλήρωση του εφελκυσμού (διαστολή) σε 50%, τα μοντέλα βυθίστηκαν σε νερό, καταψύχθηκαν και κόπτηκαν σε επιμήκεις τομές για να μελετηθεί η εσωτερική τους δομή. Το σχήμα 4 (γ.ε) είναι τομές σε συνθήκες εφελκυσμού 15% και 50% αντίστοιχα.

4. ΣΥΖΗΤΗΣΗ - ΣΥΜΠΕΡΑΣΜΑΤΑ

Η πρώτη επιφανειακή εικόνα σε όλα τα μοντέλα είναι μια μικρή επιφανειακή βίθιση που αντιστοιχεί στο άκρο του επικλινούς και σε συνθήκες εφελκυσμού 6%. Το άκρον του άκαμπτου επικλινούς δρά σαν μια ασυνέχεια και είναι ουσιαστικά υπεύθυνο για το ξεκίνημα των πρώτων "τεκτονικών" δομών, οι οποίες περιγράφονται στην εργασία αυτή ως "ασύμμετρο τεκτονικό βύθισμα" (asymmetric graben). Η διάρρηξη μεταδίδεται από τη βάση προς την επιφάνεια. Η τομή του εφελκυσμού 10% δείχνει αυτό το είδος της διάρρηξης, καθώς οι δομές στο βάθος είναι πιο σαφείς απ' ό,τι στην επιφάνεια (σχ.4 α.β). Καθώς η παραμόρφωση συνεχίζεται ένα νέο ρήγμα εμφανίζεται στην επιφάνεια (15% εφελκυσμός), (σχ. 4γ.δ). Στην τομή φαίνεται ότι αυτό εντοπίζεται στο σημείο επαφής του κατώτερου πλαστικού στρώματος με το άκαμπτο επικλινές σώμα, το οποίο μάλιστα δείχνει μεγαλύτερη μετατόπιση με την αιχήση του βάθους. Η ασυμμετρία του τεκτονικού βυθίσματος γίνεται συνεχώς και περισσότερο εμφανής καθώς προχωρά η παραμόρφωση. Αυτό είναι πλέον σαφές σε ποσότητα εφελκυσμού 50% (σχ.4ε.ζ). Σε αντίθεση με τα πειράματα αποκλειστικά συνθηκών θραυσιγενούς τεκτονικής (ομογενής άμμος) (σχ. 3), τα κανονικά ρήγματα, σε συνθήκες ηχητικούς πλαστικής τεκτονικής (άμμος-σιλικόνη), δείχνουν κλιμακωτή δομή, όταν προσεγγίσουν τα στρώματα σιλικόνης (σχ. 4). Αξιοσημείωτο είναι ότι η πάνω επιφάνεια του άκαμπτου επικλινούς άωματος, η οποία αντιπροσωπεύει τις προϋπάρχουσες δομές παραμένει ανεργός μέχρι τις συνθήκες 50% εφελκυσμού. Ενώ αντίθετα το σύστημα ενεργοποιείται σε διαφορετικές θέσεις. Μια χαρακτηριστική θέση ανάπτυξης νέων ρήγμάτων αντιθετικών και συνθετικών του κυρίου ρήγματος, εμφανίζεται πάνω ακριβώς από το επικλινές (σχ. 5). Τα ρήγματα αυτά αντιστοιχούν με τα ρήγματα της πεδιάδας της Κοζάνης (βόρειο τμήμα) π.χ. Βαθύλακκου, Κεσσαρείας, Ν. Κώμης.

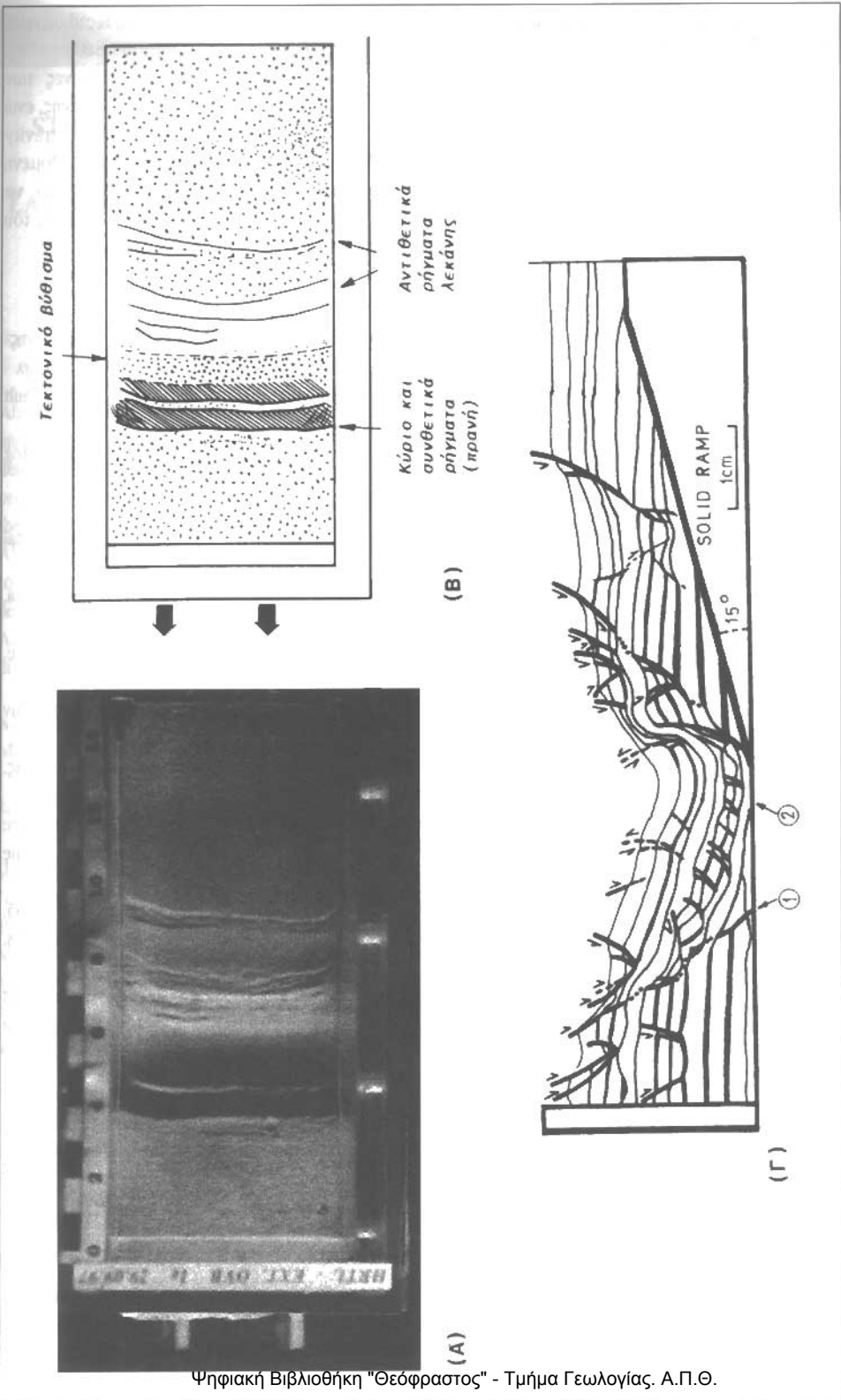
Ένα άλλο σημαντικό συμπέρασμα της γεωμετρίας του βυθίσματος, όπως προκύπτει από αυτή τη σειρά των πειραμάτων με τις συγκεκριμένες συνθήκες, είναι ότι τα στρώματα δεν παρουσιάζουν ουσιαστικά (ή παρουσιάζουν πολύ μικρή) κάμψη (drag geometry-roll overs) σε ολόκληρη την έκταση της λεκάνης, όπως δείχνουν οι Doutsos & Koukouvelas (1988), αλλά αυτή εντοπίζεται κυρίως μέσα στα δρα του βυθίσματος. Φημιστή Βίβλιοθήκη "Θεόφραστος" Τρίμηνα Γεωλογίας! Α.Π.Θ. των ρήγμάτων των



Ψηφιακή Βιβλιοθήκη "Θεόφραστος" - Τμήμα Γεωλογίας. Α.Π.Θ.

Σχ. 4: Τούτες περιλαμβάνουν συντημέτασης άμμου με δύο στρώματα σιλικόνης (ρητός/ρηγιές-αποτελούνται) και οι αναλύσεις τους (σχήματα - δεξιά στην πλευρά) οι ποσοτικά εφελκυσμοί 10%, 15% και 50% σε στρώματα.

Fig. 4: Cross sections of a system created by sand and two silicon layers (photo on the left column) and their analysis (on the right column) in 10%, 15% and 50% bulk extension in comparison.



Σχ. 5: α) Πλεονεκτικό μοντέλο (χωρία από πάνω), ανάλογο του μοντέλου της φωτογραφίας, β) πλεονεκτικό σχέδιο, γ) πλεονεκτική τομή όπου διπλώνεται η εσωτερική δομή του βρεθόματος

Fig. 5: α) Experimental model(view from the top), analogue to the landscape, b)its sketch, c)experimental cross section where details of internal structure of the graben is shown.

λιγνιτορυχείων Πτολεμαΐδας όπως μελετήθηκε από τους Παυλίδη (1985) και Doutsos & Koukouvelas (1998). Τέλος, αναλυτικά φαίνεται στο σχήμα 5 η εισατερική παραμόρφωση του χυρίως βιθίσματος, στη βάση του οποίου προσδιορίζεται το αρχικό σημείο διάρρηξης, στη συνέχεια οι ζώνες των ψηγμάτων με τη θραυσιγενή δομή έως και την ημιπλαστική (shear zones) στις θέσεις της σιλικόνης, ενώ η διάδοση της διάρρηξης προς τα επιφανειακά στφώματα δημιουργεί βιθίσεις βαρύτητας (gravity collapse), οι οποίες έχουν τη μορφή τυπικών κατολισθήσεων, αλλά οφείλονται στη συνεχίζουμενη εφελκυστική δράση (τεκτονικά αίτια). Το αναλογικό αυτό πειραματικό μοντέλο προσπαθεί να προσδομούσει τις συνθήκες δημιουργίας του τεκτονικού βιθίσματος των Σερβίων. Η συμβολή του όμως είναι γενικότερη στην κατανόηση της γεωμετρίας των εφελκυστικών δομών παγκόσμια.

ΒΙΒΛΙΟΓΡΑΦΙΑ

- ΑΝΑΣΤΑΣΟΠΟΥΛΟΣ Χ. Ι. και ΜΠΡΟΥΣΟΥΔΗΣ, Δ.Ι. 1973. Λιγνιτοφόρος λεκάνη Κοζάνης-Σερβίων (Γεωλογία-Κοιτασματολογία-Γεωτρητική έρευνα). *EIME. Κοιτ. Ερευν. No 1*. 77 pp.
- BRUN, J.-P., SOKOUTIS, D., DRIESSCHE, J.V.D. (1994). Analogue modeling of detachment fault systems and core complexes. *GEOLOGY*, v. 22, 319-322.
- BUCK, R. & SOKOUTIS, D. 1994. Analogue model of gravitational collapse and surface extension during continental convergence. *Nature*, 369, 737-740.
- BYERLEE, J., 1978. Friction of rocks; *Pure and Applied Geophysics*, 116, 615-626.
- DAVY, P. & COBBOLD, P.R., 1991. Experiments on shortening of a 4-layer model of the continental lithosphere. *Tectonophysics*, v. 188, 1-25.
- DOUTSOS, TH., & KOUKOUVELAS, I. (1998). Fractal analysis of normal faults in NW Aegean area. Greece. *J. Geodyn.* (in press).
- KOYI, H. 1997. Analogue Modelling: From a Qualitative to a Quantitative Technique-A historical outline. *J. Petrol. Geol.* 20, 223-238.
- ΜΟΥΝΤΡΑΚΗΣ, Δ. και ομάδα συνεργατών. 1997. Νεοτεκτονική Μελέτη της Ευρύτερης Περιοχής των Φραγμάτων Πολυφύτου-Ιλαρίωνα-Ελαφιού. *ΑΠΘ/ΔΕΗ* 123 pp.
- ΠΑΥΛΙΔΗΣ, Σ. (1985). Νεοτεκτονική εξέλιξη της λεκάνης Φλώρινας-Βεγορίτιδας-Πτολεμαΐδας. Διδακτ. Διατρ., Πανεπιστήμιο Θεσσαλονίκης, 265 σ.
- PAVLIDES, S. (1997). Active Faulting in northern Greece. Implications on engineering Geology. In: P.G. Marinos, Koukis, G.C., Tsiambaos, G.C., Stournaras, G.C. Engineering Geology and the Environment, *BALKEMA*, V. 1., 315-320.
- PAVLIDES, S., MOUNTRAKIS, D., CHATZIPETROS, A., ZOUROS, N. and KOSTOPOULOS D. 1995. The 13 May 1995 western Macedonia, Greece (Kozani Grevena) earthquake: preliminary results. *Terra Nova*, 7, 544-549.
- PAVLIDES, S., MOUNTRAKIS, D., ZOUROS, N. & CHATZIPETROS, A. (1998). Active Fault geometry and Kinematics in Greece: The Thessaloniki (Ms=6.5, 1978) and Kozani-Grevena (Ms=6.6, 1995) earthquakes-two casies studies. In: *VSP Proceedings of the 30th International Geological Congress. Beijing China* 1996 (in press).
- VENDEVILLE, B. (1987). Champs de failles et tectonique en extension: Modelisation experimentale. *These Doct. Univ. Rennes I No 15*.
- ΨΙΛΟΒΙΚΟΣ, Α., ΜΟΥΝΤΡΑΚΗΣ, Δ., ΠΑΥΛΙΔΗΣ, Σ. 1989. Μορφολογικές και τεκτονικές συσχετίσεις στο χώρο του "Πελαγονικού Τεμάχους" Δελτ. Ελλ. Γεωλ. Εταιρ. XXIII/1, 271-278.